

# Biomechanika vazů a chrupavek

## Struktura, viskoelasticita, poroelasticita

Matej DANIEL

Laboratoř biomechaniky  
Ústav mechaniky, biomechaniky a mechatroniky  
Fakulta strojní ČVUT v Praze

October 25, 2013



# Šlacha a vaz

**Šlacha** vazivo spojující sval s kostí

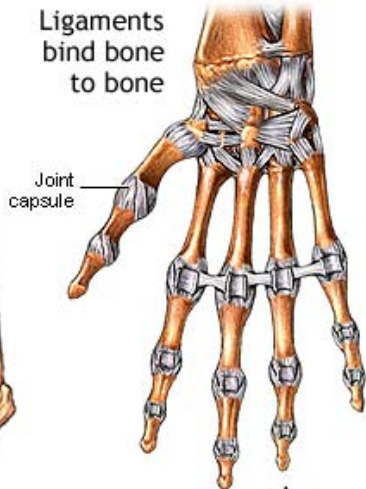
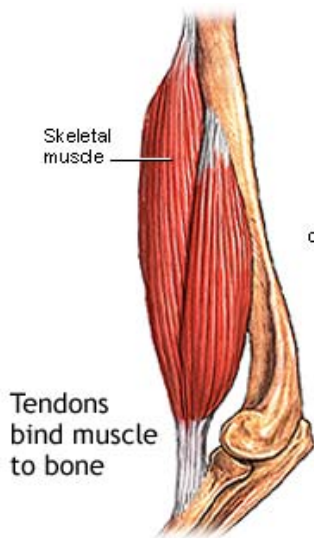
**Vaz** je součástí kloubů, kde spojuje jednotlivé kosti nebo drží orgány ve správné poloze (játra, močový měchýř).

## Vlastnosti

- bílá měkká pojivová tkáň
- uspořádané svazky kolagenu
- buňky - fibroblasty



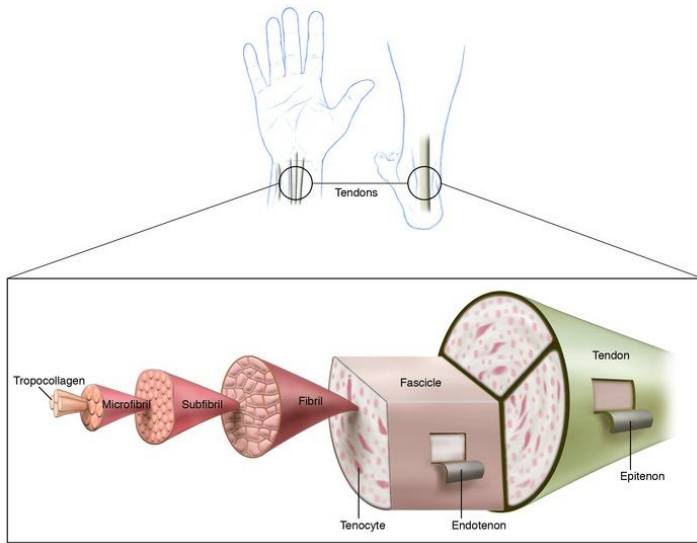
# Šlacha a vaz

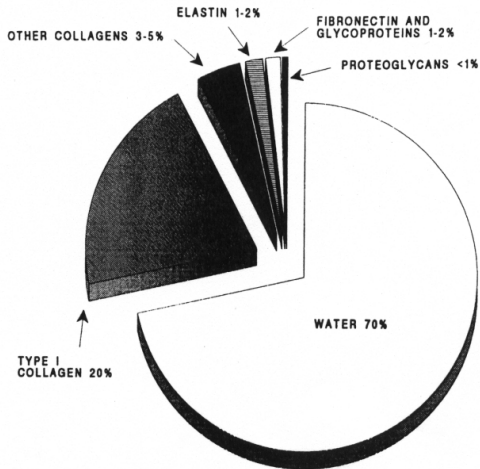


ADAM.



# Struktura





**Figure 3.3** Pie graph showing the normal biochemical composition of a typical ligament (used with permission from Frank *et al.*, 1994).

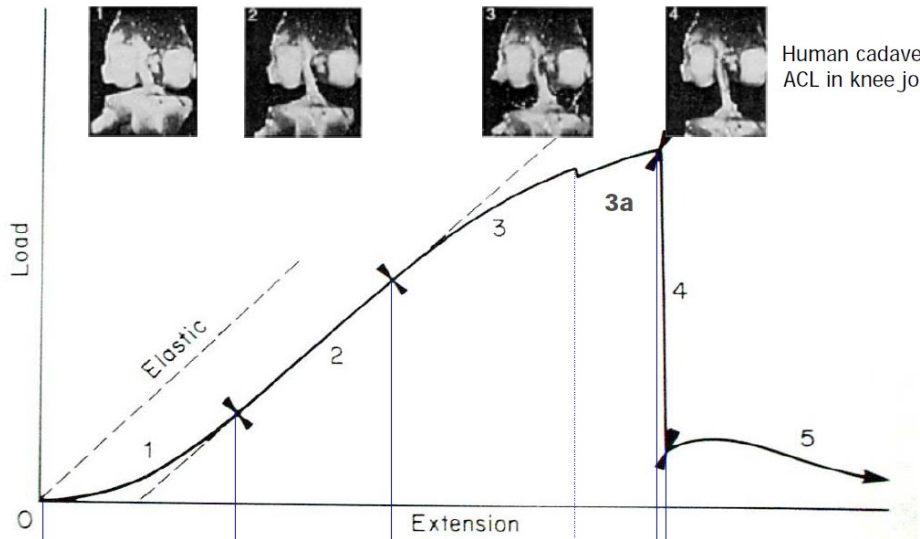


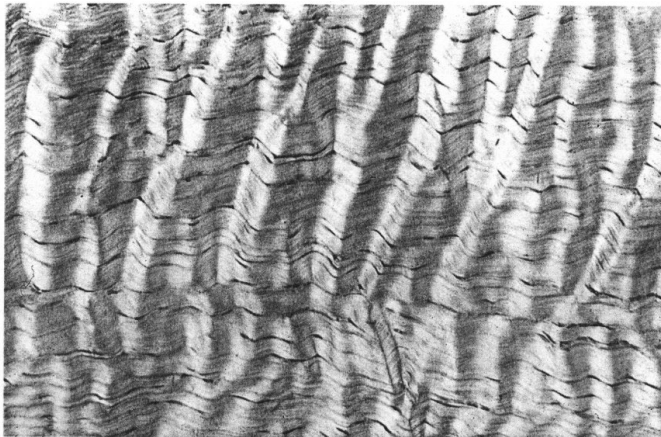
# Porovnání

	Vaz	Šlacha
% kolagenu	nižší	vyšší
organizace	více náhodná, zvlněná	ve směru dlouhé osi



# Tahová zkouška

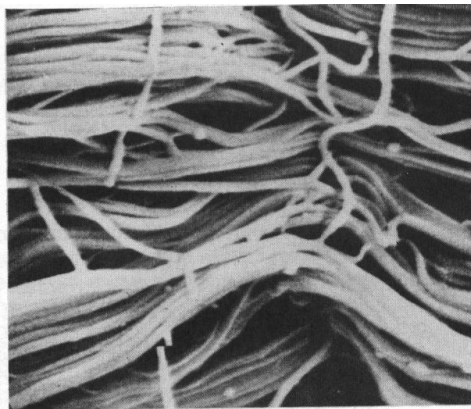




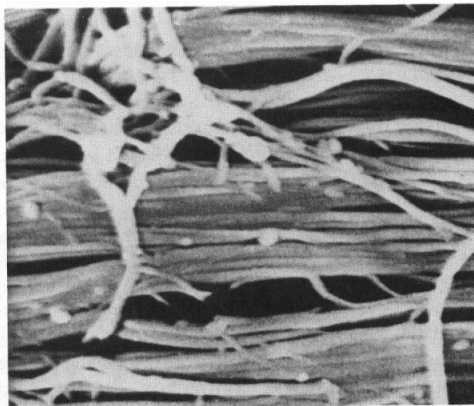
**Figure 3.2** The microscopic appearance of ligament 'crimp'. This is one of the keys to normal fibre recruitment (H&E,  $\times 60$ ).



# Změna po zátížení



Před zatížením



Po zatížení

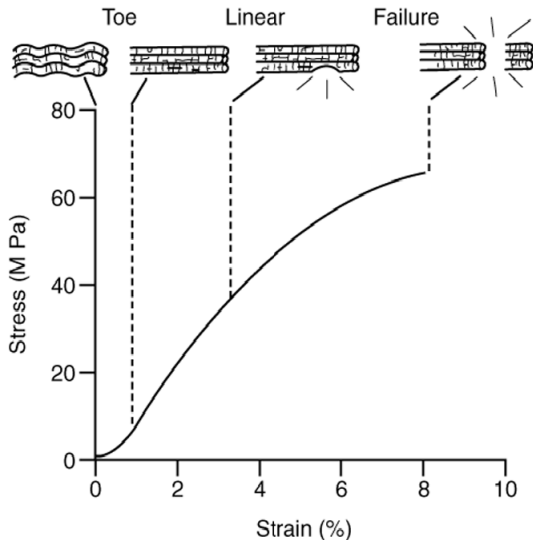


# Pružnost a pevnost

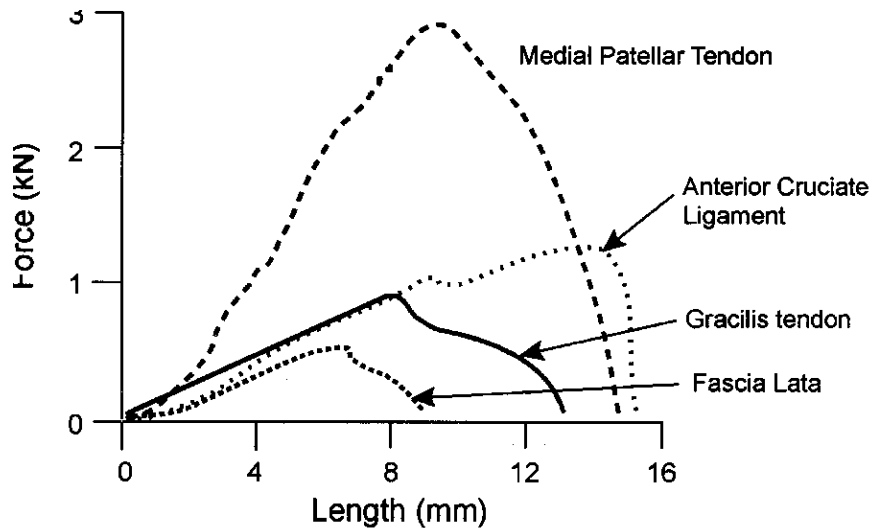
	Vaz	Šlacha
mez pevnosti	méně než šlacha	50-150 MPa
E	150-350 MPa	1200 - 1800 MPa



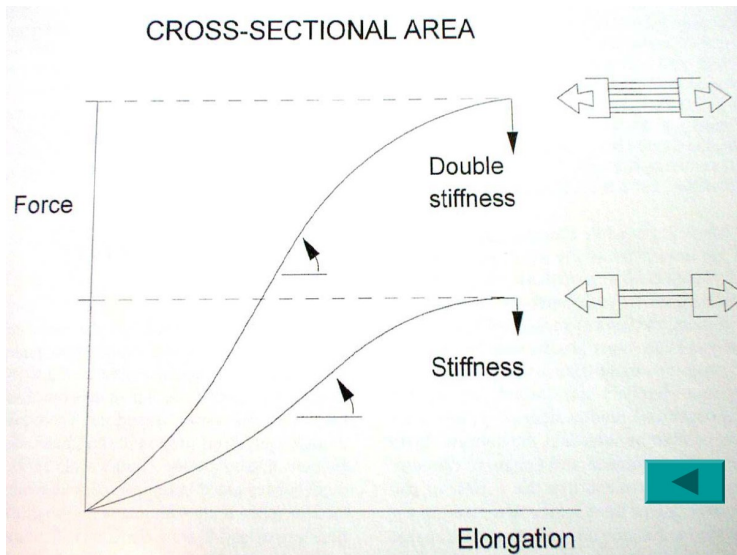
# Pracovní diagram šlachy



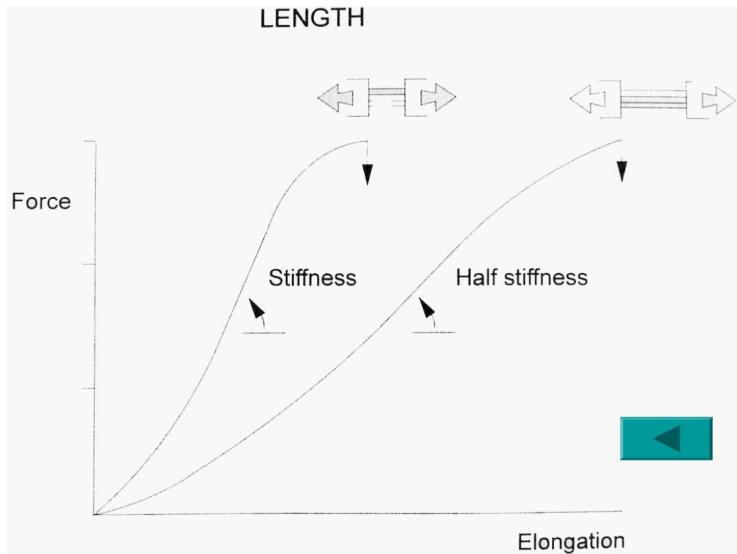
# Sila/deformace šlachy



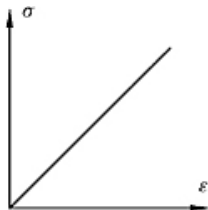
# Hookeův zákon



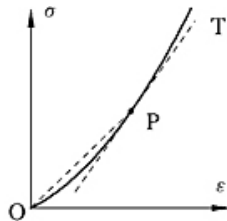
# Hookeův zákon



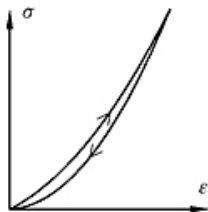
# Nelineární elasticita



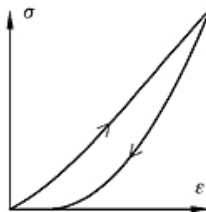
a)



b)

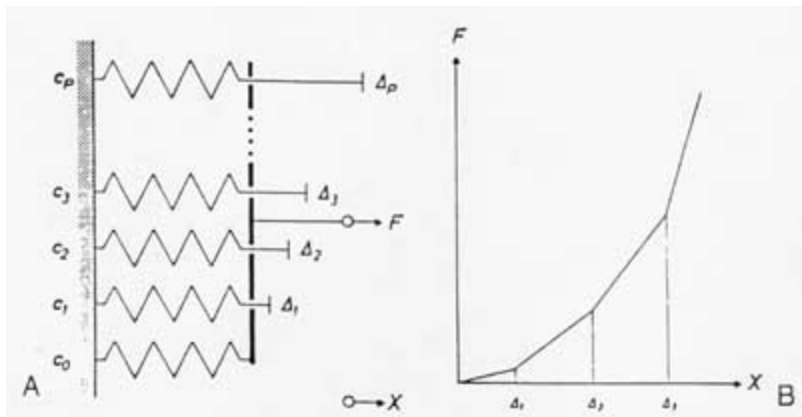


c)



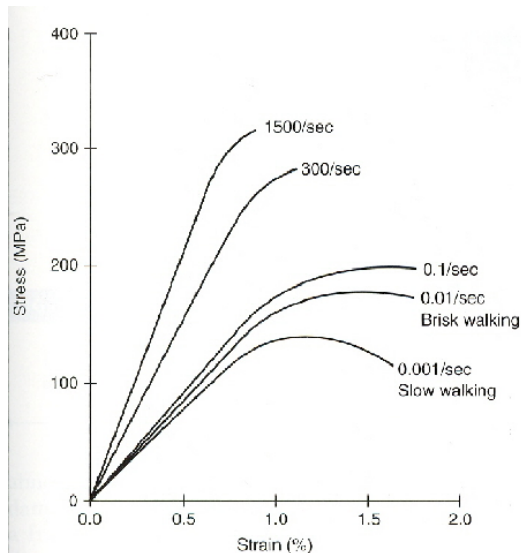
d)

# Nelineární elasticita





# Rychlost zatěžování



# Viskoelasticita

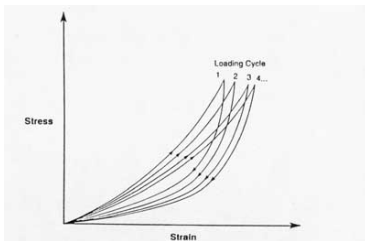
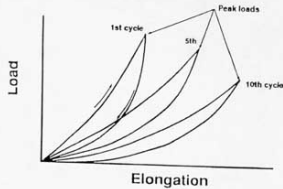
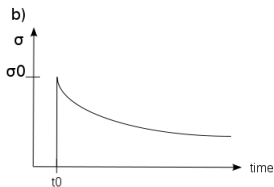
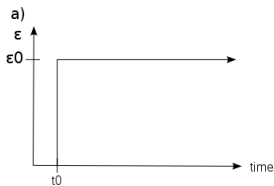


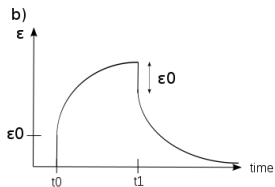
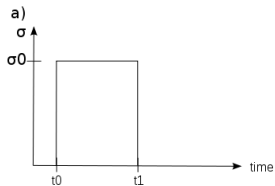
Figure 14  
During cyclic loading of tendon, the stress-strain curve gradually shifts to the right. Usually, after 10 cycles, the curves become quite repeatable and steady.



# Viskoelasticita



relaxace napětí



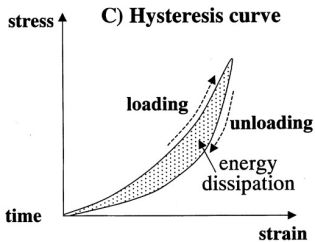
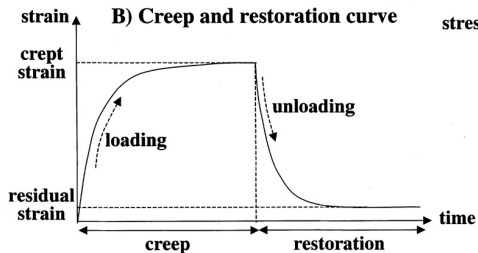
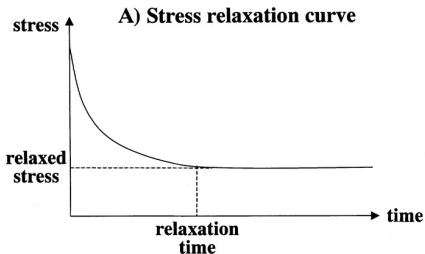
creep

## Viskoelasticita

časová závislost vztahu napětí a deformace

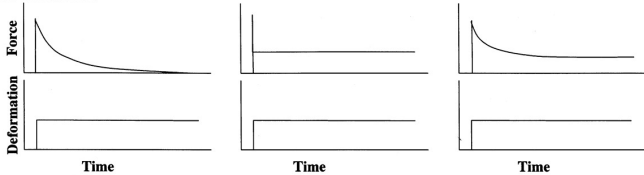


# Viskoelasticita

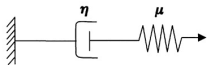
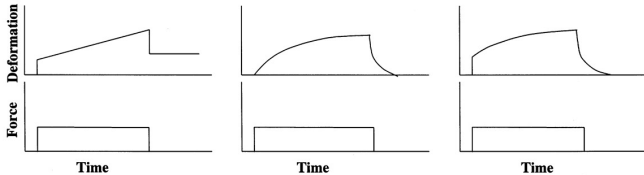


# Modely

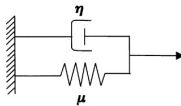
## Stress relaxation



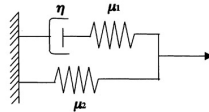
## Creep



A) Maxwell model

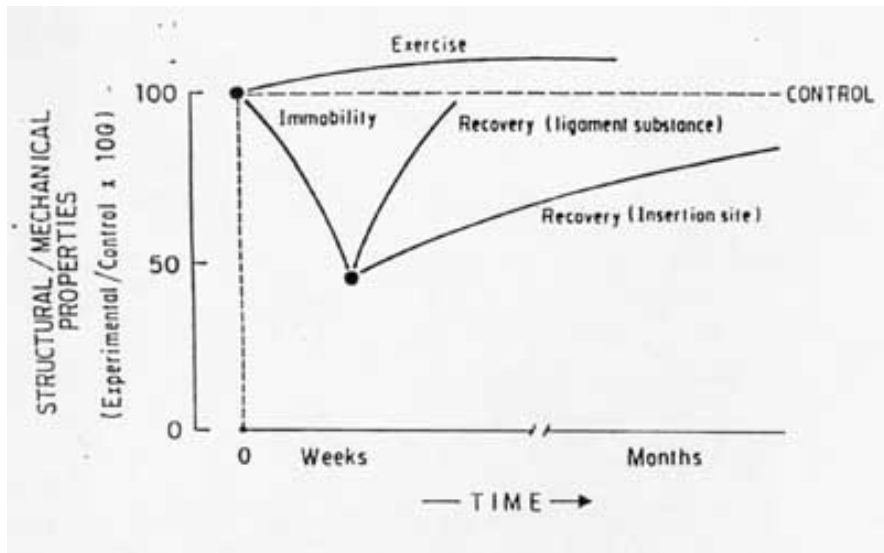


B) Voigt model



C) Kelvin model

# Remodelace šlachy



# Chrupavka

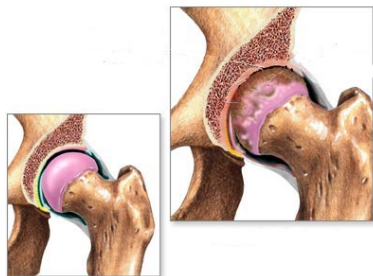
**Hyalinní chrupavka (sklovitá, kloubní)** nejběžnější, tvrdá, hladká, průhledná, kryje povrchy kostí a kloubů;

**Elastická chrupavka** ušní boltec, příklopka hrtanová a drsné průdušky;

**Vazivová chrupavka** velmi odolná mechanicky, v meziobratlových ploténkách, symfýza;

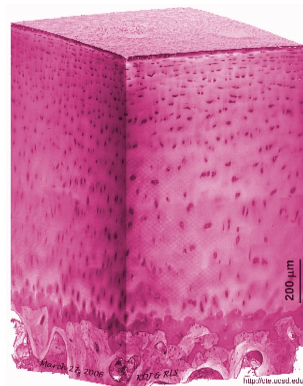


# Složení a funkce



## Funkce

- kryje kosti
- snižuje tření
- absorbuje nárazy

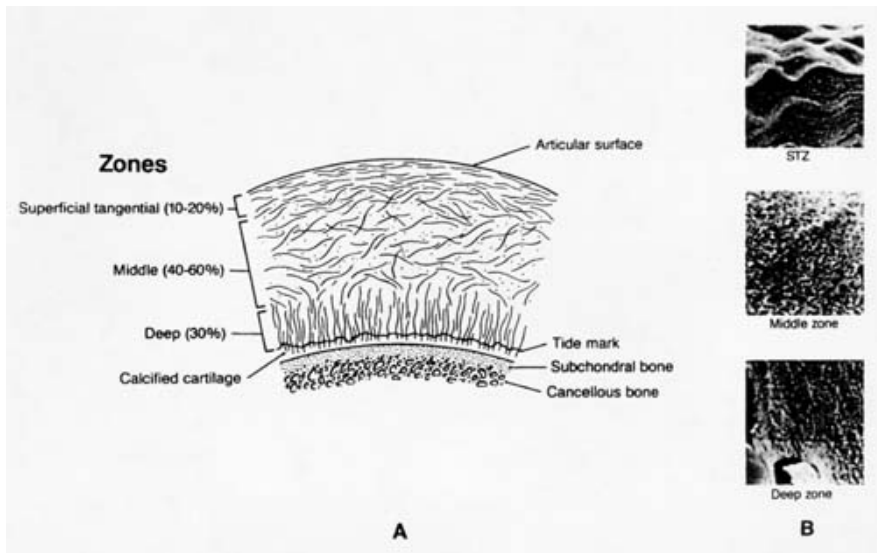


Struktura kolagen,  
proteoglykany,  
chondrocyty

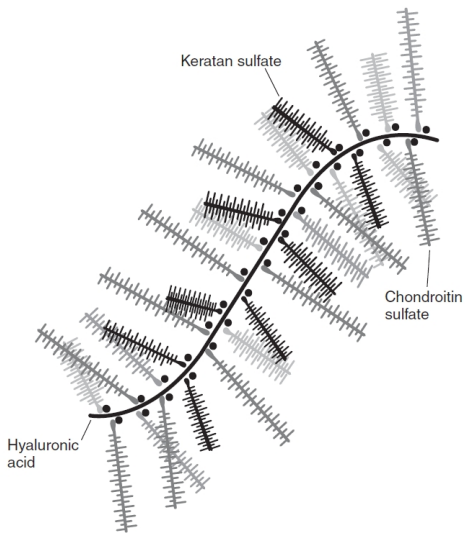




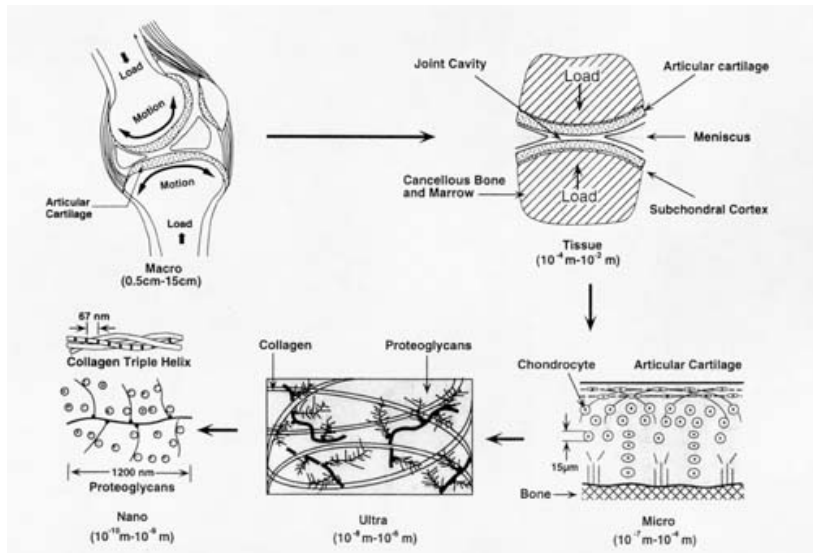
# Chrupavka



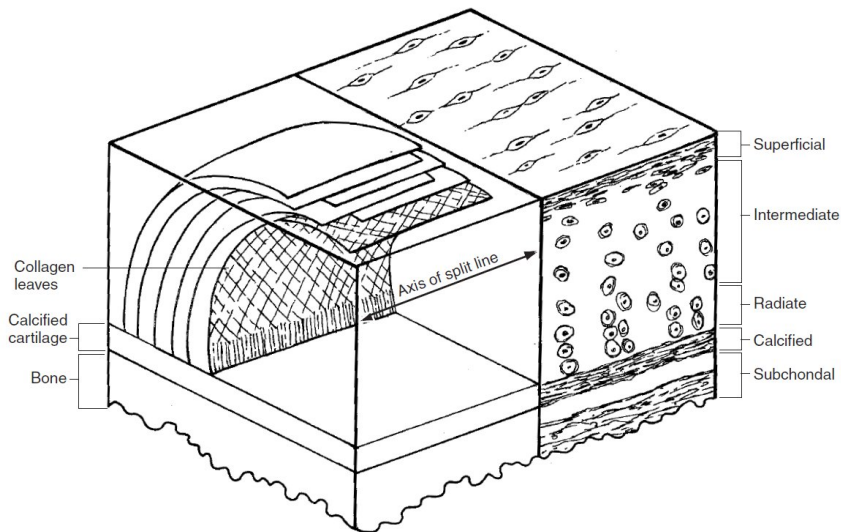
# GAG



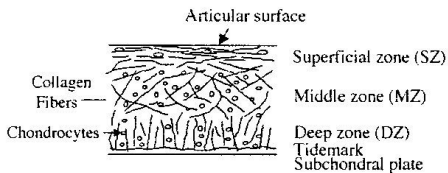
# Chrupavka



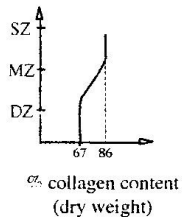
# Struktura



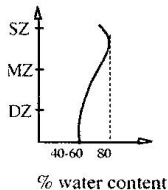
# Zonální struktura chrupavky



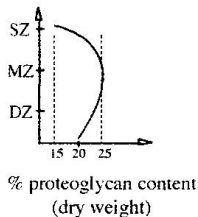
(a)



(b)



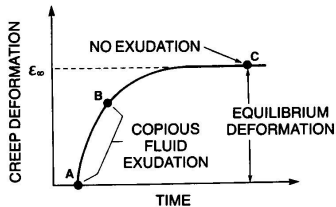
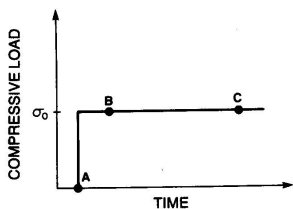
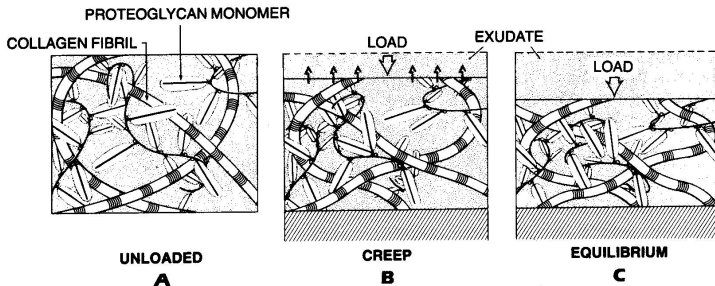
(c)



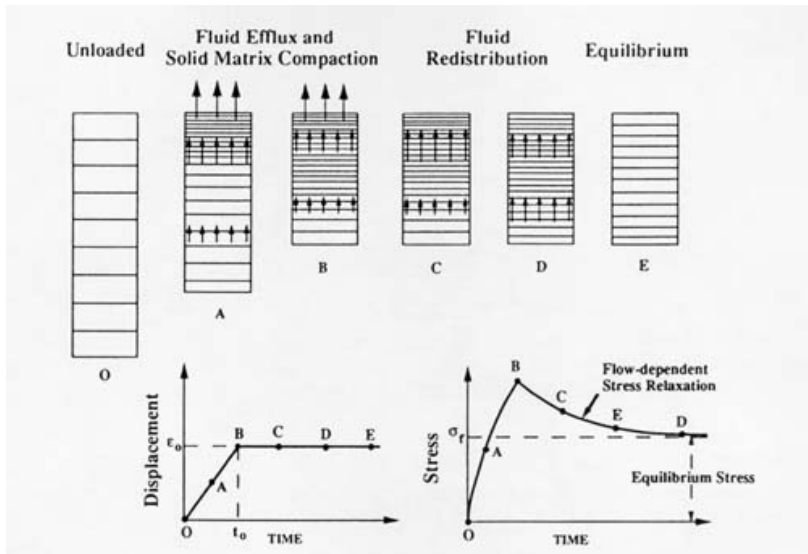
(d)



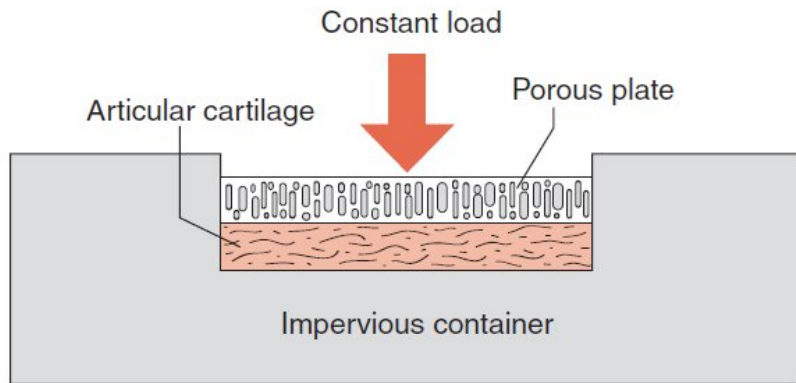
# Mechanické vlastnosti



# Chrupavka

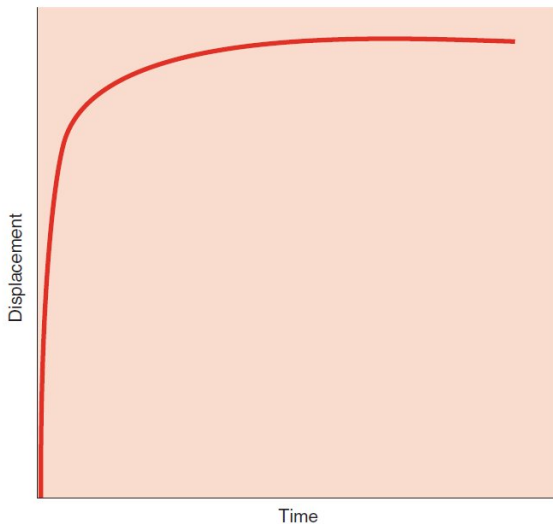


# Confined compression

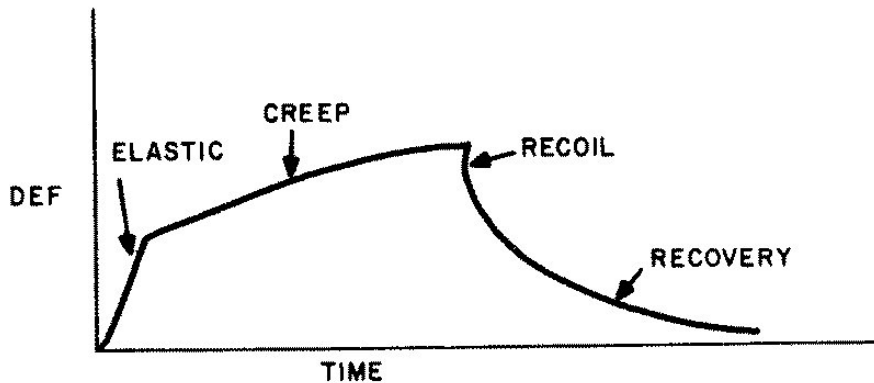




# Confined compression



# Creep chrupavky



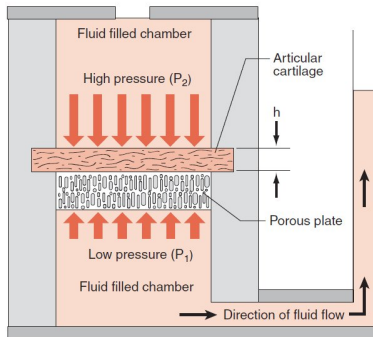
## Darcyho zákon

Darcyho zákon je matematický vztah, který definuje rychlost průtoku kapaliny nebo plynu pevným porézním tělesem.

$$v = k \nabla p$$



# Permeability

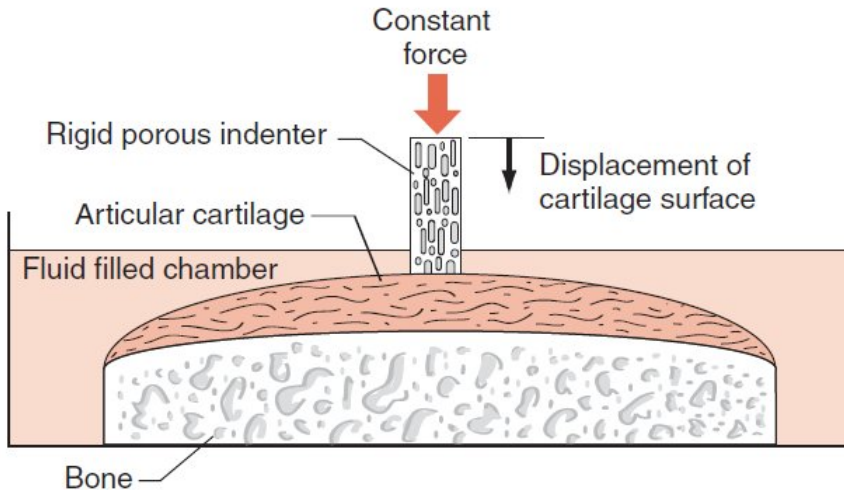


**Figure 5.6:** Schematic representation of a device used to measure the permeability of cartilage. A slice of cartilage is supported on a porous plate in a fluid-filled chamber. High pressure applied to one side of the cartilage drives fluid flow. The average fluid velocity through the cartilage is proportional to the pressure gradient, and the constant of proportionality is called the *permeability*.

$$\nabla p = \frac{P_2 - P_1}{h}, \quad k = k_0 e^{M\varepsilon}$$



# Indentance



# Mechanické testy chrupavky

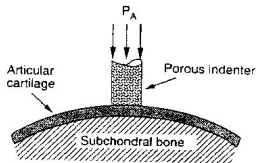
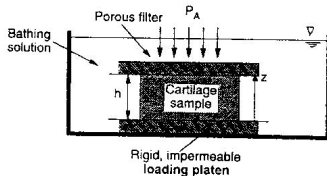
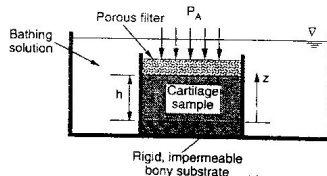
**Confined compression** agregovaný  
modul pružnosti ( $H_A$ )  
0.1-2.0 MPa

**Unconfined compression** –  
Youngův modul (E)  
from 0.41-0.85 MPa

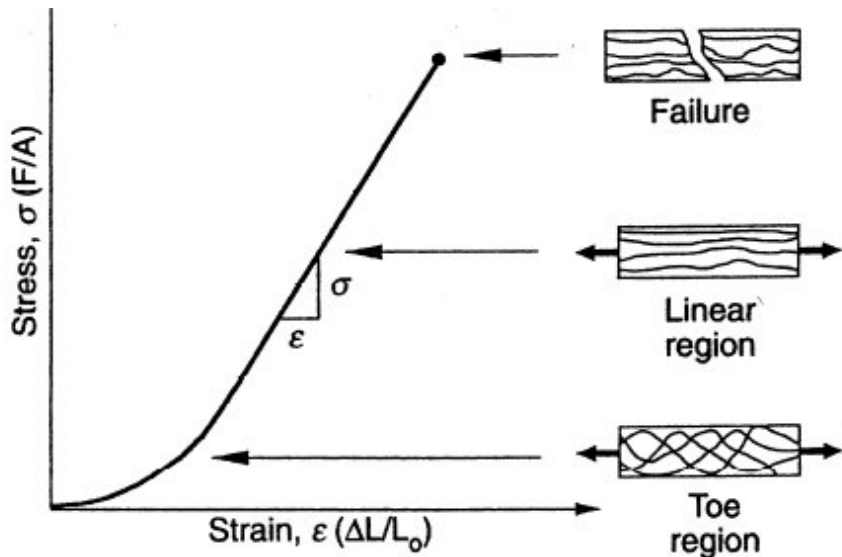
Poissonovo číslo

$$H_A = \frac{E(1 - \nu)}{(1 + \nu)(1 - 2\nu)}$$

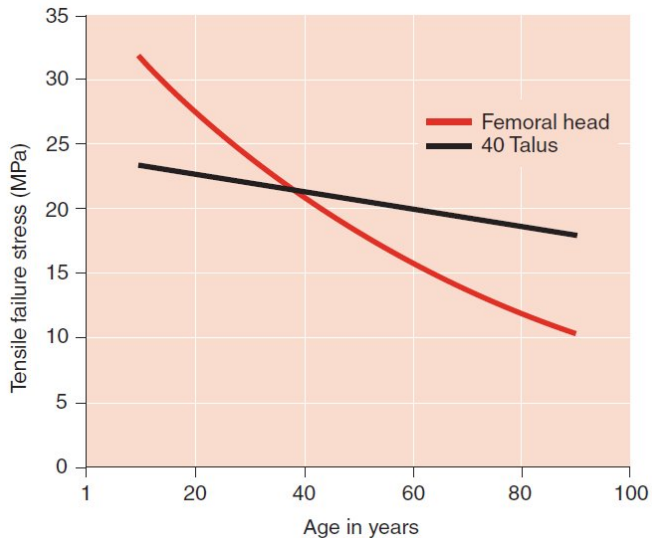
Indentace



# Testování tahem

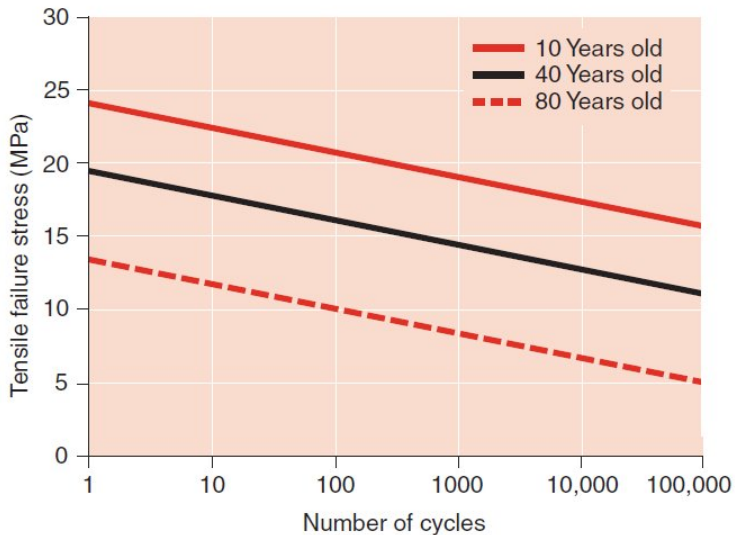


# Testování tahem

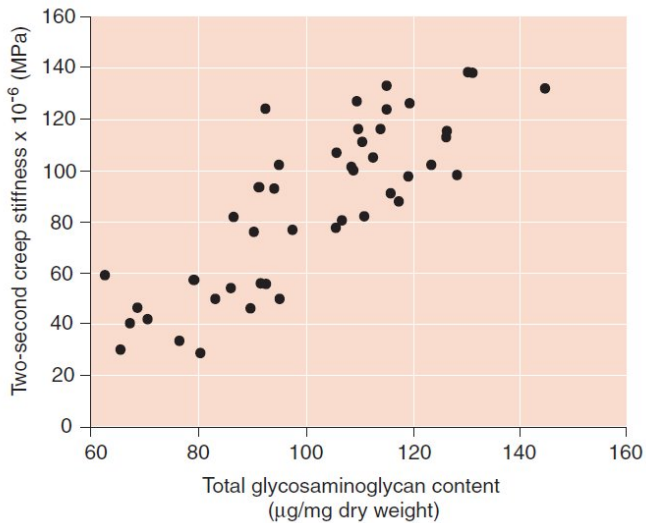




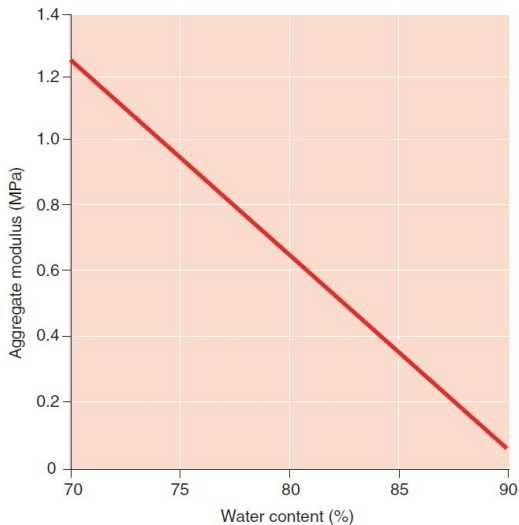
# Únava materiálu



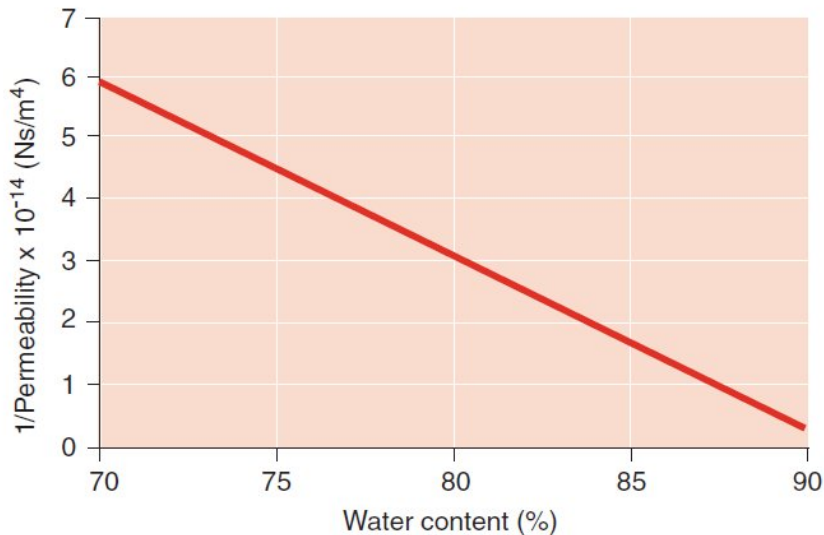
# GAG vs. tuhost



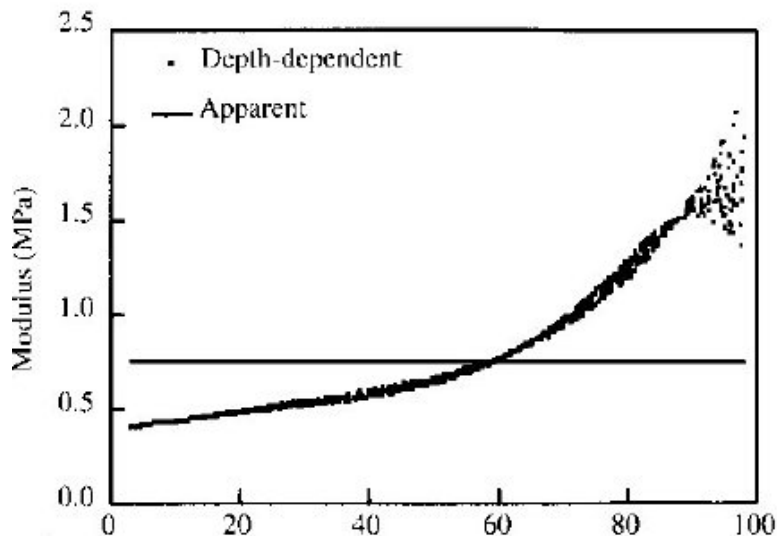
# Agregovaný modul pružnosti



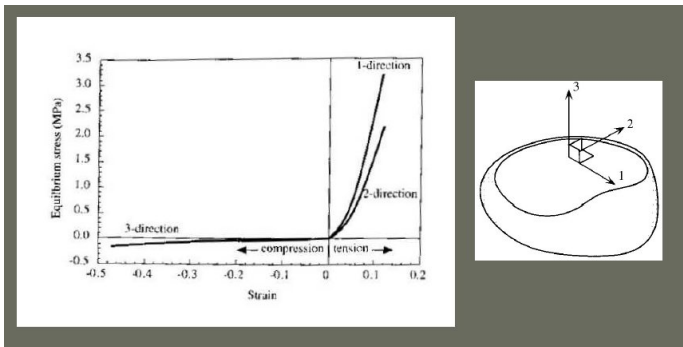
# Permeabilita



# Nehomogenita



# Nelinearita v tahu a tlaku



# Nelinearita v tahu a tlaku

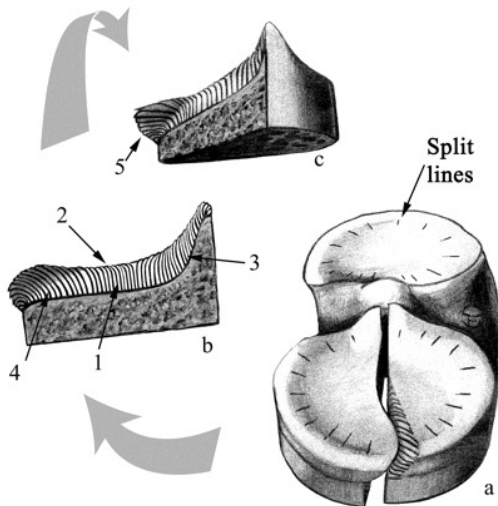
## Split lines

po vpichu jehlou kruhového průřezu vznikne oválný vpich

- 5.9 MPa vs 7.8 MPa ve směru malé deformace
- 26 MPa vs 43 MPa ve směru velké deformace

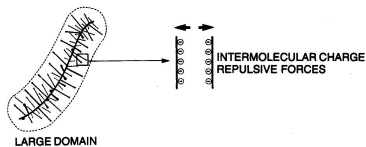


# Split lines

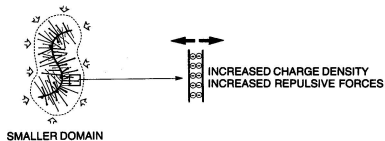




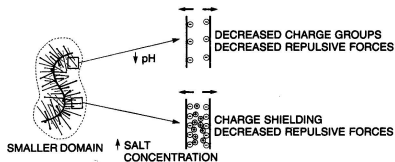
# Mechano-elektro-chemické vlastnosti



**A**



**B**



## Tribologie

z řeckého - třít

je vědecký obor, zabývající se procesy tření, opotřebení a mazání.

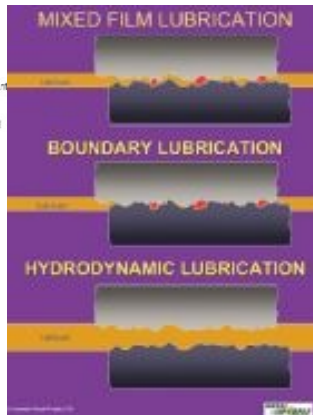
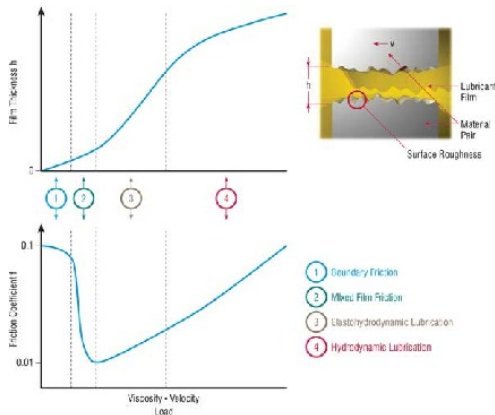


# Tření

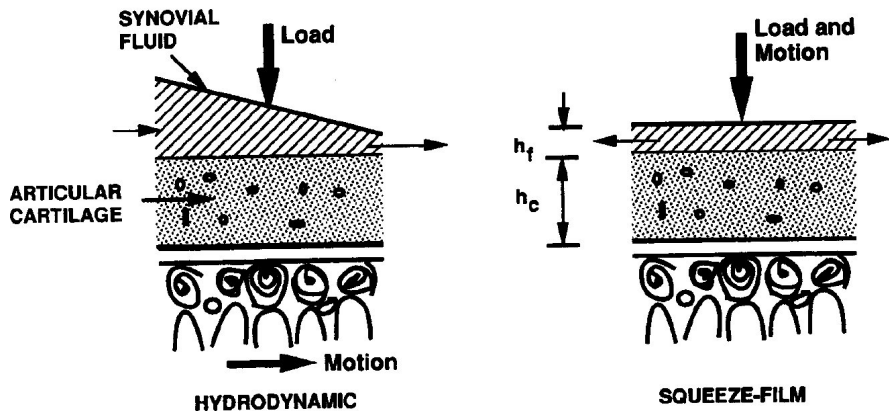
- 1 Hydrodynamické mazání – mezi dvojicí povrchů je vrstva maziva
- 2 Elastohydrodynamické mazání – dvojice povrchů je navzájem oddělena velmi tenkou vrstvou maziva
- 3 Smíšené mazání – dvojice povrchů je částečně oddělena mazivem ale existují části, kde jsou tyto povrchy v přímém kontaktu.
- 4 Suché tření - přímý kontakt mezi kontaktními povrchy



# Tření

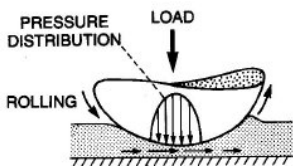


# Chrupavka - hydrodynamické a tenký film

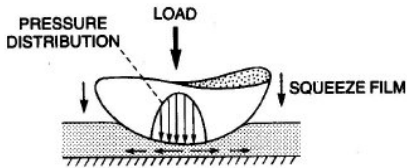


# Elastohydrodynamické mazání

## RIGID BEARINGS



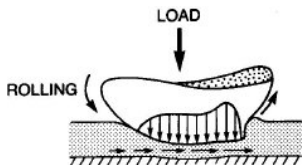
**A**



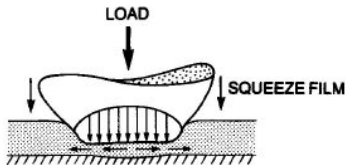
**B**

THIN FLUID FILM AND HIGH PRESSURES

## DEFORMABLE BEARINGS



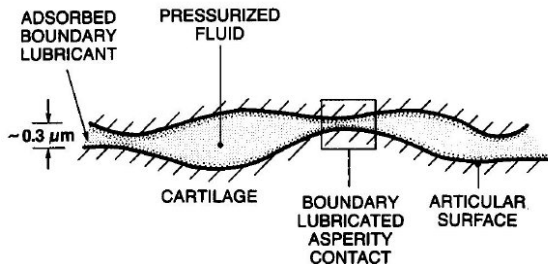
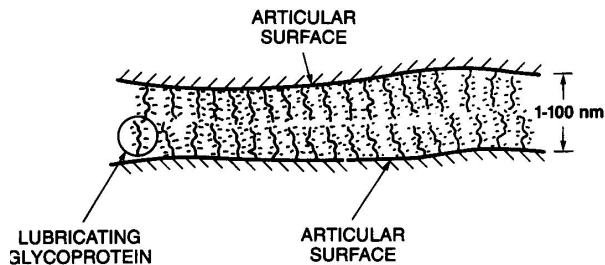
**C**



**D**



# Chrupavka - smíšené mazání



# Funkce menisku

